

И. И. СТОРИЖКО, А. И. СОКОЛЕНКО, кандидаты техн. наук,  
З. Т. ТАТАНАШВИЛИ, В. В. КАЛЯНДРА,  
Г. Р. ВАЛИУЛИН, М. И. ЮХНО

## УКЛАДЧИК БУТЫЛОК ГОРИЗОНТАЛЬНОГО ТИПА

Комплексная организация процессов розлива пищевых продуктов в значительной мере сдерживается отсутствием укладчиков бутылок в контейнеры. ОКБ Грузинского научно-исследовательского института пищевой промышленности и кафедрой “Детали машин” Киевского технологического института пищевой промышленности ведутся исследования укладчиков бутылок горизонтального типа

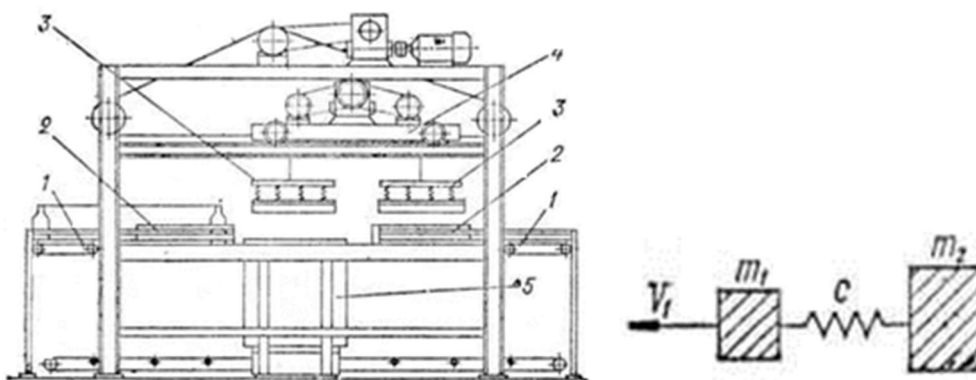


Рис. 1. Схема укладчика бутылок горизонтального типа. Рис. 2. Расчетная схема привода каретки.

с целью определения оптимальных значений кинематических и динамических параметров рабочих органов и выработки рекомендаций по увеличению производительности.

Укладчик (рис. 1) состоит из системы конвейеров 1 для подачи бутылок, опрокидывающихся лотков 2 для перевода бутылок в горизонтальное положение, укладочных головок 3, каретки 4 горизонтального перемещения укладочных головок к контейнеру 5. Укладочные головки и каретка укладчика имеют отдельные приводы. Расчетная схема привода каретки приведена в виде двухмассовой системы на рис. 2.

В состав привода каретки входят электродвигатель, муфта, червячный редуктор, цепная передача и гибкая передача в виде барабана и двух блоков с тросом. С учетом того, что жесткость муфт червячной передачи и валов значительно выше жесткости цепной передачи и троса, приведенная масса

$m_1$  определяется с учетом масс ротора электродвигателя, муфты, червяка, червячного колеса и ведущей звездочки цепной передачи. Приведенная масса  $m_2$  учитывает только массу каретки. Приведенная жесткость привода с определяется с учетом жесткости цепной передачи и троса.

Процесс разгона состоит из двух этапов. Первый этап происходит от начала движения ведущей массы до начала движения всей системы. Начало второго этапа соответствует достижению величины упругой деформации упругого звена, равной  $Q/c$ , где  $Q$  – сопротивление перемещению каретки.

Уравнение движения ведущей массы на первом этапе имеет вид

$$\ddot{m_1 s} + c s_1 = P_{\partial\theta}. \quad \text{Найдем его решение:}$$

$$s_1 = A \cdot \sin \sqrt{\frac{c}{m_1}} t + B \cdot \cos \sqrt{\frac{c}{m_1}} t + \frac{P_{\partial\theta}}{c}, \quad (1)$$

Где  $s_1$  - перемещение массы  $m_1$ ;  $P_{\partial\theta}$  - движущая сила развивающаяся электродвигателем привода. Ее будем определять из условия, что движущий момент  $M_{\partial\theta}$  равняется пусковому моменту  $M_p$  (такое допущение основывается на скоротечности динамических процессов в высокочастотных системах).

При начальных условиях  $t = 0$ ;  $s_1 = 0$ ;  $ds_1 / dt = 0$ ;  $A=0$ ;  $B = -P_{\partial\theta} / c$ . Подставив значения А и В в уравнение (1), получим

$$s_1 = \frac{P_{\partial\theta}}{c} \left( 1 - \cos \sqrt{\frac{c}{m_1}} t \right).$$

Усилие в упругом звене

$$P = s_1 \cdot c = P_{\partial\theta} \left( 1 - \cos \sqrt{\frac{c}{m_1}} t \right).$$

Второй этап разгона (от момента начала движения  $m_2$ ) описывается уравнениями

$$\left. \begin{aligned} m_2 \ddot{s}_1 + c(s_1 - s_2) &= P_{\text{об}}; \\ \ddot{s}_2 + c(s_1 - s_2) &= -Q. \end{aligned} \right\} \quad (2)$$

Решение этой системы имеет следующий вид:

$$\begin{aligned} s_1 - s_2 &= \sqrt{\frac{Q \cdot (2P_{\text{об}} - Q) \cdot m_2}{c^2 \cdot (m_1 + m_2)}} \sin \sqrt{\frac{c \cdot (m_1 + m_2)}{m_1 \cdot m_2}} t - \\ &- \frac{(P_{\text{об}} - Q) \cdot m_2}{c \cdot (m_1 - m_2)} \cos \sqrt{\frac{c \cdot (m_1 + m_2)}{m_1 \cdot m_2}} t + \frac{(P_{\text{об}} - Q) \cdot m_2}{c \cdot (m_1 + m_2)} + \frac{Q}{c}. \end{aligned} \quad (3)$$

Исследуя его на максимум, получаем

$$\begin{aligned} P_{\max} &= \frac{(P_{\text{об}} - Q) \cdot m_2}{m_1 + m_2} + \\ &+ \sqrt{\frac{(P_{\text{об}} - Q) \cdot m_2}{m_1 + m_2} \left[ Q + \frac{P_{\text{об}} \cdot Q}{P_{\text{об}} - Q} + \frac{(P_{\text{об}} - Q) \cdot m_2}{m_1 + m_2} \right]} + Q. \end{aligned}$$

Определив из выражений (3) значение  $s_2$  и подставив его во второе уравнение системы (2), найдем ускорение каретки укладчика:

$$\begin{aligned} \ddot{s}_2 &= \frac{c}{m_2} \left( A \sin \sqrt{\frac{c \cdot (m_1 + m_2)}{m_1 \cdot m_2}} t + B \cos \sqrt{\frac{c \cdot (m_1 + m_2)}{m_1 \cdot m_2}} t + \frac{(P_{\text{об}} - Q) \cdot m_2}{c \cdot (m_1 + m_2)} + \frac{Q}{c} \right) - \\ &- \frac{Q}{m_2}. \end{aligned}$$

Здесь А и В – константы интегрирования, найденные при начальных условиях,

$$t=0; \quad s_1 - s_2 = \frac{Q}{c}; \quad s_1 = \frac{P_{\text{об}}}{c} \sqrt{\frac{c}{m_1}} \sin \sqrt{\frac{c}{m_1}} t_1;$$

$$A = \sqrt{\frac{Q \cdot (2P_{\text{об}} - Q) \cdot m_2}{c^2 \cdot (m_1 + m_2)}};$$

$$B = -\frac{(P_{\text{об}} - Q) \cdot m_2}{c \cdot (m_1 + m_2)}.$$

На основании полученной модели определены значения максимальных усилий в упругом звене при пуске каретки  $P_{\max}$ . Для интервала скоростей движения каретки 0.2 – 0.4 м/с  $P_{\max} = 540H$ .

Апробация результатов аналитических исследований осуществлена экспериментом на лабораторном стенде. Для этого между тягой привода и кареткой установлено динамометрическое звено, выполненное в виде овальной полускобы из марганцовистой стали 65Г. На нее нанесены электротензодатчики. Регистрация сигнала осуществлялась самопищущим прибором Н-320-5.

Результаты экспериментальных исследований приведены в таблице. Сопоставлений расчетных данных и результатов экспериментальных исследований показывает их хорошую сходимость.

Скорость перемещения каретки $V$ , м/с	Максимальное усилие $P_{max}$ , Н		Усилие в период установившегося движения $F$ , Н	
	экспериментальное	расчетное	экспериментальное	расчетное
0,20	$415 \pm 17$	540	96	91,2
0,25	$398 \pm 15$	—	96	91,2
0,30	$405 \pm 19$	—	96	91,2
0,35	$401 \pm 17$	—	96	91,2
0,40	$385 \pm 20,5$	538	96	91,2

Анализ результатов аналитических и экспериментальных исследований показывает, что максимальное усилие при пуске каретки весьма мало зависит от скорости ее установившегося движения. Объяснить это можно тем, что движущая сила  $P_{de}$  при увеличении скорости движения каретки уменьшается (в связи с уменьшением передаточного числа привода и увеличением времени разгона).

*Поступила в редакцию 18.02.1980.*